

From: ICEE2012 <icee2012@ut.ac.ir>
To: Mohammad Kafi Kangi <m.kafikangi@yahoo.com>
Cc: Mohammad Maymandi-nejad <maymandi@um.ac.ir>
Sent: Wednesday, March 14, 2012 8:06 PM
Subject: [ICEE2012] Your paper #1569543239 طراحی یک دمودلاتور دامنه با مصرف توان کم و سرعت بالا برای استفاده ('در سیستم های تله متغیر پزشکی')

Dear Mr. Mohammad Kafi Kangi,

ICEE2012: Paper 1569543239 (Accept with minor revision)

طراحی یک دمودلاتور دامنه با مصرف توان کم و سرعت بالا برای استفاده در سیستم های تله متغیر پزشکی

We are pleased to inform you that your above paper has been accepted with minor revisions for presentation at the ICEE2012 to be held at the University of Tehran in May 15-17, 2012.

We have received more than 2000 submissions to ICEE2012. The technical committee worked very hard to select outstanding papers, resulting in the final acceptance rate of 30% for main conference submissions.

To assure a high quality conference, you should apply all the reviewers' comments in your final paper. The reviews are at the bottom of this email and can be found at the following link: <http://edas.info/showPaper.php?m=1569543239>

Considering the large number of papers submitted, some of the reviews are not yet visible on the site. If you don't see any review for your paper, please check the above link in a few days.

IMPORTANT INFORMATION:

- 1) Your camera-ready paper must be uploaded to the ICEE2012 submission site before the deadline. Guidelines for camera-ready paper submission and conference registration will soon be available on the conference website.
- 2) ICEE2012 will soon select a small set of top quality papers to be presented in Oral (Lecture) format. The selection will be based on the overall review scores, novelty scores, presentation scores, meta-review recommendations and the slots available for oral presentation.
- 3) Each accepted paper must have at least one author registered at a non-student rate. Failure to do so will result in removal of your paper from the conference. Please monitor ICEE2012 website for detailed registration policy, registration deadline and online registration information.
- 4) ICEE2012 requires that each accepted paper be presented by one of the authors in-person at the conference site. Any paper without onsite presentation will be removed from the ICEE2012 Proceedings in the IEEE Digital Library (Xplore®) and any other publications (e.g., websites or other digital libraries).
- 5) Be sure to check the conference website often as important information will be posted regularly on this site; more information, including the complete technical program, will also be available soon.
- 6) ICEE2012 features excellent education program, with world class Keynote Speakers, invited talks, and high quality tutorials. We encourage you to participate in the full range of technical program to take advantage of our offering.

Again, congratulations! We look forward to welcoming you at the University of Tehran!

Best Regards,

--
Dr. Parviz Jabehdar-Maralani
Technical Program Chair, ICEE2012
School of Electrical and Computer Engineering,
College of Engineering,
University of Tehran

Website: <http://icee2012.ut.ac.ir>
email: icee2012@ut.ac.ir

The reviews of your paper, so far:

===== Review 1 =====

> *** Reviewers comments: Comments to the authors/required modifications?

The paper presents an interesting topic

===== Review 2 =====

> *** Reviewers comments: Comments to the authors/required modifications?

CMOS رابه صورت سی ماش بنویسیم اعذر را با /

پیشنهاد می شود که به طور خلاصه دمودلاتور های متداول نیز اشاره شوند

===== Review 3 =====

> *** Reviewers comments: Comments to the authors/required modifications?

like Dr. Hossein Shamsi's comment

طراحی یک دمودلاتور دامنه با مصرف توان کم و سرعت بالا برای استفاده در سیستم های تله متري پزشکی

محمد کافی^۱، محمد میمندی نژاد^۲

^۱دانشگاه فردوسی مشهد، M.Kafikangi@Yahoo.Com

^۲دانشگاه فردوسی مشهد، Maymandi@Um.ac.ir

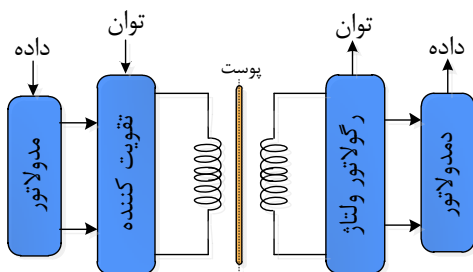
چکیده - استفاده از مدولاسیون دامنه یکی از معمولترین روشها برای ارسال داده و توان به سیستم های کاشته شده در داخل بدن است. در این مقاله یک ساختار دمودلاتور دامنه جدید برای استفاده در سیستم های تله متري پزشکی ارائه شده است. از جمله مشخصه های دمودلاتور طراحی شده می توان به مصرف توان کم، سرعت بالا، و کار با ضریب مدولاسیون پایین اشاره نمود. علاوه بر این در دمودلاتور ارائه شده از تغییر دامنه برای تشخیص داده استفاده شده است، این مشخصه حساسیت به تغییر دامنه توسط عوامل محیطی - که از مهمترین عیوب های این نوع مدولاسیون به شمار می آید - را کاهش می دهد. طراحی مدار با استفاده از تکنولوژی CMOS $0.18\mu m$ انجام شده است. نتایج شبیه سازی نشان می دهد که دمودلاتور ارائه شده قادر است با سرعت مدولاسیون $100\text{ }\mu \text{s}$ در فرکанс $13.56\text{ }\mu \text{Hz}$ ، و با ضریب مدولاسیون حدود 2.4% کار کند. مصرف توان مدار حدود $40\text{ }\mu \text{W}$ است، که مصرف توان کم می تواند مشخصه خوبی برای استفاده در داخل بدن باشد. سایر مباحث مربوط به طراحی، شامل ملاحظات طراحی، ساختار دمودلاتور، و نتایج شبیه سازی به صورت جزئی تشریح شده است.

کلید واژه - تکنولوژی $0.18\mu m$ CMOS، تله متري پزشکی، دمودلاتور دامنه

داخل را تامین کند. همچنین داده مدوله شده توسط یک

دمودلاتور به داده باینری تبدیل می شود[۳].

۱- مقدمه



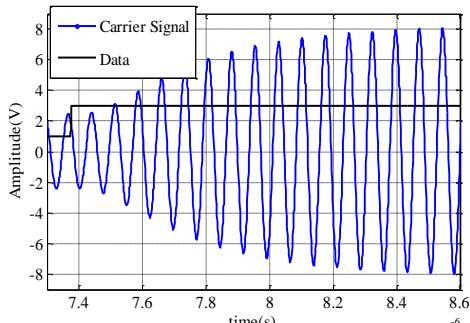
شکل ۱: بلوک دیاگرام بخش ارسال و دریافت داده سیستم تله متري پزشکی [۸]

مدولاسیون دامنه به علت سادگی که در ساختار دمودلاتور و دمودلاتور آن وجود دارد، یکی از روش های معمول برای استفاده در لینک القایی است [۱-۵]. اما با وجود این مزیت، حساسیت به نویز دامنه، سرعت کم، و نیاز به مدار تانک با ضریب کیفیت (Q) بالا در گیرنده و فرستنده از جمله مشکلاتی است که در استفاده از این نوع مدولاسیون رخ می دهد [۶]. بر این اساس در این مقاله دمودلاتوری با سرعت بالا و ضریب مدولاسیون کم ارائه شده است که بر اساس تغییر سطح دامنه تغییر بیت را تشخیص می دهد. این کار حساسیت به نویز دامنه را کاهش می دهد. به

در دهه های اخیر، پیشرفت هایی که در تکنولوژی مدارات مجتمع حاصل شده است، استفاده از قطعات و مدارات الکترونیکی را در داخل بدن ممکن ساخته است [۱]. برای نمونه می توان به کاربرد قطعات کاشته شده در داخل بدن در درمان برخی بیماری ها از قبیل: تحریک کننده مثانه برای کنترل ادرار، میکرو تحریک کننده های عصبی برای غلبه بر فلجه شدن اعضا حرکتی بدن، و پروتز های پوستی تحریک مغز برای درمان پارکینسون اشاره نمود [۱].

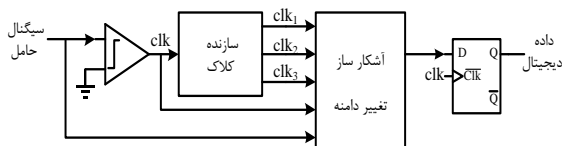
برای جلوگیری از خطرات ارتباط سیمی بین قطعه های کاشته شده و قسمت بیرون بدن [۲] و همچنین بزرگ بودن اندازه باتری برای کاشته شدن در داخل بدن [۳]، از ارتباط بی سیم - که توسعه یک لینک القایی صورت می گیرد - برای تامین توان قطعه کاشته شده و تبادل داده با آن استفاده می شود [۲]. شکل ۱ بلوک دیاگرام ساده ای از این ارتباط را نشان می دهد. داده ها ابتدا توسط یک مدولاتور مدوله می شوند، و از طریق یک تقویت کننده توان به داخل ارسال می گردند. در قسمت داخلی سیستم سیگнал حامل یکسو و رگوله می شود تا ولتاژ تغذیه قسمت

مدولاتور پیشنهاد شده است- می توان در حالت گذراي بين تغيير دامنه نيز به تشخيص داده پرداخت و اثر آن را بر سرعت ارسال داده کاهش داد. در واقع می توان مقداری از محدوديت سرعت فرستنده را توسط مدولاتور کاهش داد. نمونه اى از حالت گذراي بين تغيير ۲ دامنه در شکل ۲ نشان داده شده است.



شکل ۲: نمایش حالت گذراي بين تغيير ۲ دامنه

روشی که برای مقایسه دامنه سیگنال حامل در پریود های متوالی به کار گرفته شده است، استفاده از شارژ خازن در یک نیم پریود سیگنال حامل و مقایسه با مقدار آن در پریود قبل است. بر این اساس ۳ خازن در ۳ پریود متوالی سیگنال حامل- بر حسب مقدار دامنه- شارژ می شوند، و در مرحله بعد با مقایسه شارژ ۲ خازن که در ۲ پریود متوالی شارژ شده اند، تغییر در دامنه تشخیص داده می شود. در بخش بعد توضیحات کاملتری از عملکرد مدولاتور ارائه می گردد. بلوک دیاگرام مدولاتور در شکل ۳ نشان داده شده است.



شکل ۳: بلوک دیاگرام مدولاتور ارائه شده

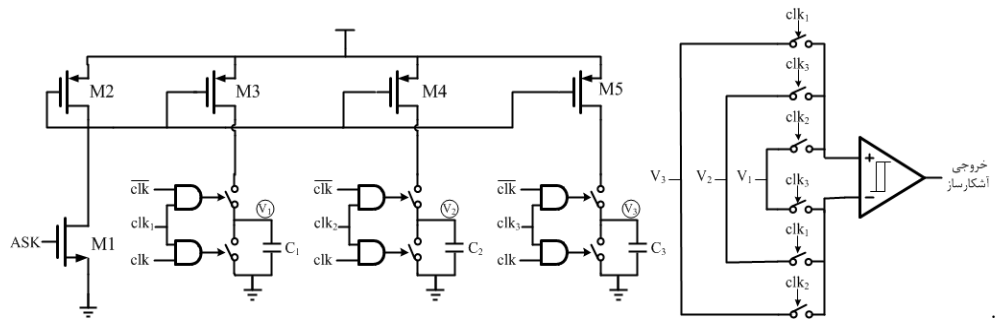
سیگنال حامل دریافت شده از مدار تانک ثانویه ابتدا توسط یک دیجیتال کننده به یک سیگنال مربعی تبدیل می شود، که این سیگنال به عنوان کلاک نهایی نیز بکار می رود (شکل ۶ سطر ب). در مرحله بعد این سیگنال مربعی به یک بلوک سازنده کلاک اعمال می شود که ۳ کلاک (clk₁, clk₂, و clk₃) برای کنترل شارژ صحیح خازن ها در خروجی خود ایجاد می کند. قسمت آشکار ساز تغییر دامنه با استفاده از خروجی های بلوک های قبل و سیگنال حامل، هر گونه تغییر در دامنه سیگنال آشکار سازی می شود، که این عمل توسط مقایسه شارژ خازن در طول نیم پریود سیگنال حامل صورت می گیرد. و نهایتا داده دیجیتال از نمونه گیری سیگنال کلاک از خروجی آشکار ساز توسط یک فلیپ فلاپ بدست می آید.

علاوه ضریب مدولاسیون کم می تواند مقدار Q مورد نیاز مدار تانک را کاهش دهد [۷].

اساس عملکرد و بلوک دیاگرام این مدولاتور در بخش ۲ تشریح شده است. قسمت ۱-۲ به بررسی شماتیک مداری بلوک های مختلف می پردازد. نتایج شبیه سازی مدولاتور در بخش ۳ بررسی شده است. نهایتا در بخش ۴ یک جمع بندی از مطالب گفته شده ارائه می شود.

-۲ اساس عملکرد مدولاتور

اساس عملکرد پیشنهادی برای آشکار سازی داده در این مدولاتور بر اساس تغییر در دامنه سیگنال حامل است. به عبارت دیگر، اگر دامنه سیگنال حامل در یک پریود نسبت به دامنه آن در پریود قبلی از آن کاهش یا افزایش یابد، این بدان معنی است که بیت ارسالی تغییر کرده است، و در غیر این صورت بیت ارسال شده با بیت قبلی برابر است. این روش از ۲ جهت سودمند است: اول اینکه حساسیت به تغییر دامنه که یکی از مشکلات این مدولاسیون به شمار می آید را کاهش می دهد. این مشکل معمولا در اثر تغییر ناخواسته در فاصله بین سیم پیچ ها و یا تداخل با سیگنال حامل توان رخ می دهد [۷]. با توجه به اینکه این تغییرات در تمامی دامنه ها به میزان تقریبا برابر ایجاد می شود و مدولاتور با مقایسه تغییرات دامنه آشکار سازی را انجام می دهد، بنابراین، امکان خطأ در تشخیص بیت ارسالی را تا حد زیادی کاهش می دهد. دلیل دوم مفید بودن این مدولاتور افزایش سرعت تشخیص داده (Bit Rate)- که پارامتر مهمی در کاربردهای تله متری پژوهشی به شمار می آید- است. اگرچه در بسیاری از مقاله های ارائه شده اشاره ای به تاثیر ضریب کیفیت مدار های تانک گیرنده و فرستنده در سرعت ارسال و دریافت داده نشده است، اما این عامل باعث جلوگیری از تغییر ناگهانی در دامنه سیگنال حامل و در نتیجه ایجاد تأخیر در رسیدن به دامنه مطلوب برای تشخیص تغییر در داده دیجیتال (کاهش سرعت تشخیص) می شود. به عبارت دیگر محدودیت در ارسال و دریافت داده ممکن است هم در اثر کارایی پایین مدولاتور باشد و هم ایدهآل نبودن فرستنده لینک القایی. بسیاری از پژوهش های انجام شده در این زمینه به بررسی مدولاتور پرداخته اند، و مجموعه فرستنده داده را ایدهآل و بدون نقص در نظر گرفته اند [۱-۵]. از طرف دیگر با توجه به ذاتی بودن ضریب کیفیت پایین در مدارهای تانک به ویژه در کاربردهای تله متری پژوهشی، حذف آن اجتناب ناپذیر است [۷]. در هر حال با استفاده از آشکارسازی بر مبنای تغییر در دامنه های متوالی- که در این



شکل ۵: شماتیک مداری آشکار ساز تغییر دامنه

$$V_{C_{\max}} = \frac{I_C}{C} \times \Delta t \quad (1)$$

معادله فوق برای زمانی است که جریان اعمالی به خازن در مدت زمان شارژ ثابت باشد. در حالتی که جریان خازن متغیر باشد، برای محاسبه مقدار ماکزیمم ولتاژ خازن‌ها در شکل ۳ باید از رابطه (۱) انتگرالگیری نمود

$$I_C(t) = I_{M3-M5}(t) \Rightarrow V_{C_{\max}} = \int_{t_1}^{t_2} \frac{I_{M3-M5}(t)}{C_i} dt \quad (2)$$

که در آن $V_{C_{\max}}$ مقدار ماکزیمم ولتاژ خازن آم، و I_{M3-M5} جریان ترانزیستورهای M3-M5 است. با توجه به آینه شدن جریان M1 در این ترانزیستورها، رابطه (۲) بصورت رابطه (۳) تصحیح می‌شود. همچنین با با صرفه نظر کردن از جریان قبل از آستانه ترانزیستور M1، می‌توان مقادیر t_1 و t_2 را بدست آورد

$$V_{C_{\max}} = \int_{t_1}^{t_2} \frac{W_{M3-M5}}{W_{M2}} \times I_{M1} dt \quad (3)$$

$$t_2 = \frac{\pi - \sin^{-1}(V_{TH1}/A)}{2\pi f_c}, \quad t_1 = \frac{\sin^{-1}(V_{TH1}/A)}{2\pi f_c}$$

که در آن W_{Mi} اندازه عرض ترانزیستور Mi، و f_c فرکانس سیگنال حامل است. پارامترهای A و V_{TH1} نیز به ترتیب نشانگر مقدار دامنه سیگنال حامل و ولتاژ آستانه ترانزیستور M1 هستند. جریان ترانزیستور M1 نیز با توجه به اشباع بودن این ترانزیستور قابل محاسبه است

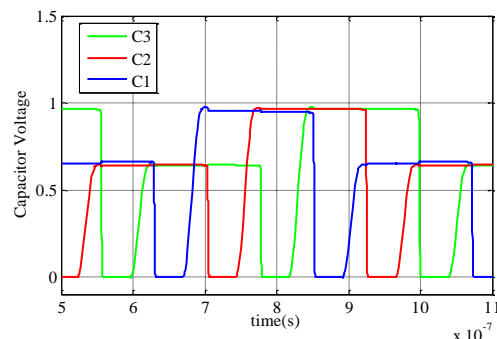
$$I_{M1} = \frac{1}{2} \mu_n C_{ox} \frac{W}{l} (V_{gs} - V_{TH})^2 \quad (4)$$

$$V_{gs} = A \sin \omega t$$

که با جایگذاری این رابطه در رابطه (۳) مقدار ولتاژ خازن متناسب با دامنه سیگنال حامل بدست می‌آید رابطه (۳) تنها در حالتی درست است که ترانزیستورهای M3-M5 در ناحیه اشباع عمل کنند. در صورتی که ولتاژ خازن از مقدار مشخصی بالاتر رود این ترانزیستورها به ناحیه خطی بروند

۱-۲- شماتیک مداری بلوک‌های مهم دمودولاتور

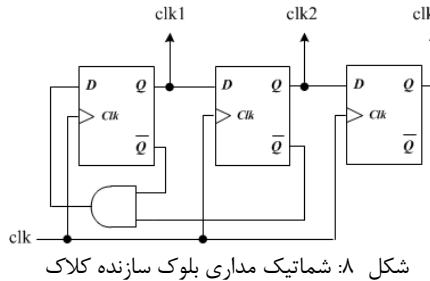
آشکار ساز تغییر دامنه: از آنجاییکه دمودولاتور پیشنهادی بر اساس آشکارسازی تغییر دامنه، بیت ارسالی را تشخیص می‌دهد، بنابراین این بلوک مهمترین قسمت این ساختار به شمار می‌آید. شکل ۵ شماتیک مداری این بلوک را نشان می‌دهد. همانگونه که در بخش ۲ ذکر شد، خازن‌های C_1 ، C_2 ، و C_3 باید در پریودهای متوالی و متناسب با مقدار دامنه سیگنال حامل شارژ شوند، تا با مقایسه مقادیر ولتاژ آن‌ها بتوان تغییراتی را که در دامنه سیگنال حامل دامنه رخ می‌دهد را آشکار سازی نمود. دمودولاتور در هر ۳ پریود متوالی، ۳ فاز مختلف را طی می‌کند که هر فاز برابر یک پریود کلک است. در هر فاز یکی از خازن‌ها در نیم سیکل دشارژ، و در نیم سیکل دوم متناسب با دامنه سیگنال حامل شارژ می‌شود. این شارژ خازن برای مقایسه با بار دیگر خازن‌ها باید تا پایان فاز سوم ثابت بماند. به طور همزمان باز ۲ خازن دیگر توسط مقایسه گر با یکدیگر سنجیده می‌شود. برای مثال در فاز اول خازن C_1 مرحله دشارژ-شارژ را طی می‌کند و خازن‌های C_2 و C_3 برای سنجش بار به ترتیب به پایه‌های مثبت و منفی کلک متصل می‌شوند. در فازهای دوم و سوم نیز به ترتیب بار C_1 با C_2 و C_3 با C_1 هم مقایسه می‌شوند تا تغییرات دامنه را آشکارسازی نمایند.



شکل ۴: شارژ خازن‌ها در پریودهای متوالی

مقدار ولتاژ خازنی که با جریان I_C در مدت زمان Δt شارژ می‌شود، از رابطه (۱) محاسبه می‌شود

حامول و دارای عرض پالس $1/3$ باشند، تا بتوانند عملیات شارژ و مقایسه خازن ها را به خوبی کنترل کنند. این شکل موج ها به صورت شماتیکی در شکل ۴ نشان داده شده است. شکل ۸ مدار انتخاب شده برای ایجاد این شکل موج ها را نشان می دهد.

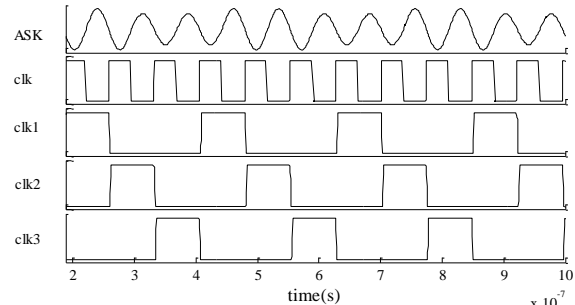


شکل ۸: شماتیک مداری بلوک سازنده کلاک

باید رابطه جریان در این ناحیه در رابطه (۲) استفاده نمود.

$$I_{M3-M5} = \mu_p C_{ox} \frac{W}{L} [(V_{gs} - V_{Thp})V_{ds} - \frac{1}{2} V_{ds}^2] \quad (5)$$

V_{gs} و V_{ds} ولتاژ درین سورس و گیت سورس ترانزیستورهای M3-M5 هستند.



شکل ۶: نمایش سیگنال های مورد نیاز در خروجی بلوک سازنده کلاک

۳- نتایج شبیه سازی

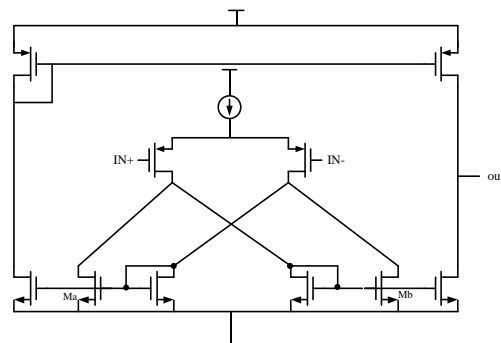
پیاده سازی و شبیه سازی این دمودولاتور با استفاده از تکنولوژی CMOS $0.18\mu m$ ، و در فرکانس 13.56 مگا هرتز انجام شد. البته با توجه به اختلافی که بین سیگنال ایدهآل ASK و سیگنال دریافت شده از لینک القایی وجود دارد، نتایج شبیه سازی برای هر ۲ نوع این سیگنال ها بررسی شد.

الف) شبیه سازی با استفاده از سیگنال ایدهآل ASK: بر اساس نتایج بدست آمده از شبیه سازی، دمودولاتور ارائه شده قادر است که با نسبت data rate به فرکانس حامل 100% در فرکانس 13.56 مگا هرتز کار کند. شکل های ۹ و ۱۰ نمونه ای از استخراج داده با سرعت و ضریب مدلسیون های مختلف نشان می دهد (در این شکل ها به منظور وضوح بهتر دامنه های منفی سیگنال حامل نمایش داده نشده است). همانگونه که در این نتایج نیز مشخص است، علاوه بر سرعت بالا، این دمودولاتور توانایی آشکار سازی با ضریب مدلسیون پایین (حداقل مقدار اندازه گیری شده حدود 2.4%) است که در شکل ۹ نشان داده شده است) را دارا می باشد.

از جمله نکات دیگری که در شبیه سازی مدار منظور شد، تعیین محدوده دینامیکی کارکرد مطلوب دمودولاتور بود. برای این منظور مقدار بار خازن ها به ازای دامنه های مختلف و در بدترین گوشه های فرایند دمایی، و ولتاژی اندازه گیری شد. نتیجه این شبیه سازی در شکل ۱۱ نشان داده شده است. نکته دیگری که در این شکل نشان داده شده است، مقایسه نتایج بدست آمده از رابطه (۲) با مقادیر شبیه سازی شده در حالت TT است، که به خوبی صحت محاسبات را نشان می دهد.

همانگونه که در این شکل مشخص است در گوشه ff و در دمای ۰ درجه با ولتاژ ۲ ولت، ولتاژ خازن ها در دامنه های بیش از

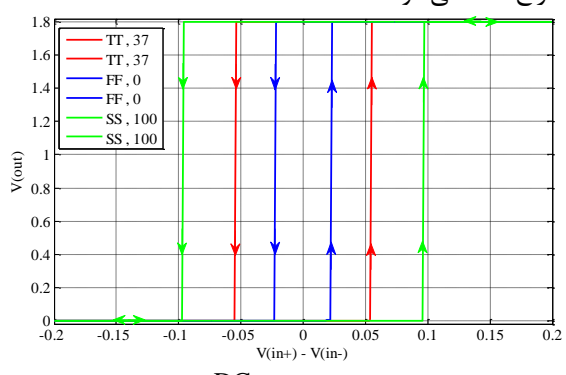
نکته دیگری که در بلوک آشکار ساز باید به آن دقت شود، انتخاب مقایسه گر مناسب است. همانگونه که در شکل ۳ نشان داده شده است، مقایسه گر باید نوعی اشمیت تریگر باشد که با تعیین آستانه بالا رفتن و پایین رفتن آن بتوان بین تغییر بیت و وجود نویز تمایز قائل شود. این امر باعث کاهش ضریب مدلسیون دمودولاتور می گردد، اما در مقابل قابلیت اطمینان مدار را افزایش می دهد. در تعیین آستانه های مقایسه گر می توانیم عوامل مانند مساوی نبودن اندازه خازن ها، نویز محیط، بار اضافی ناشی از سوئیچ ها، و عوامل مزاحم دیگر را به عنوان یک حاشیه نویز در نظر گرفت. با انتخاب ولتاژ آستانه بیش از مقدار نویز می توان مدار نسیت به تمامی نویزها و عوامل تاثیر گذار دیگر بیمه نمود. مدار انتخاب شده برای اشمیت تریگر در شکل ۷ نشان داده شده است [۸]، که در آن با تغییر نسبت اندازه ترانزیستورهای Ma و Mb می توان آستانه های اشمیت تریگر را کنترل نمود.



شکل ۷: مدار مقایسه گر

مدار سازنده کلاک: همانگونه که در قسمت قبل ذکر شد $clk1$ ، $clk2$ ، و $clk3$ باید پالس هایی با فرکانس $1/3$ فرکانس سیگنال

تا ولتاژ های حدود ۱.۳ ولت امکان پذیر است، و در ولتاژ های بالاتر از این مقدار ولتاژ آستانه بالا و پایین مقایسه گر با هم برابر می شوند، که باعث شدن حاشیه نویز و در نتیجه خطأ در استخراج داده می شود.



شکل ۱۲: نمونه تحلیل DC مقایسه گر

با استفاده از شکل ۱۱ می توان دریافت که دامنه های بالاتر از حدود ۱.۲ ولت می توانند این ولتاژ را در خازن ها ایجاد کنند، بنابراین در حالت عملی نمی توان در دامنه های بالای ۱.۲ ولت کار کرد، زیرا ممکن است مدار در این گوشه قرار بگیرد، اما در شبیه سازی در گوشه های دیگر می توان در دامنه های بالاتر نیز آشکارسازی را انجام داد، نمونه ای از این شبیه سازی در شکل ۱۰ نشان داده شده است.

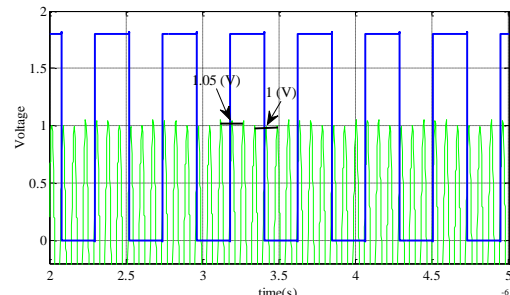
جدول (۱) پارامتر های دمودلاتور پیشنهاد شده در این مقاله را با سایر دمودلاتور هایی که تاکنون ارائه شده اند مقایسه می کند. همانگونه که در این جدول نیز مشخص است، ساختار ارائه شده از لحاظ مصرف توان، سرعت تشخیص داده (Bit rate)، و ضریب مدولاسیون نسبت به سایر ساختار ها برتری دارد.

جدول ۱: مقایسه پارامتر های دمودلاتور پیشنهادی						
سال	تکنولوژی ساخت (μm)	صرف توان (μW)	Bit Rate (kbps)	فرکانس حامل (MHz)	ضریب مدولاسیون	مرجع
۲۰۱۰	۰.۲۵	^۱ ۳۰۶	۱۲۰۰	۱۳.۵۶	٪۹.۱	[۱]
۲۰۰۸	۰.۳۵	۱۰۱۰	۲۵۰	۲	٪۲۷	[۲]
۲۰۰۹	۰.۱۸	۳۹۶	۱۰۰۰	۲	٪۲.۸۶	[۳]
۲۰۰۸	۰.۱۸	۳۳۶	۱۰۰۰	۲	٪۴.۳۵	[۴]
۲۰۰۴	۰.۳۵	^۲ ۱۰۲۰	۱۰	۲	٪۱۸.۷	[۵]
۲۰۱۱	۰.۱۸	۳۹.۸	۱۳۵۶۰	۱۳.۵۶	٪۲.۴	ساختار جدید

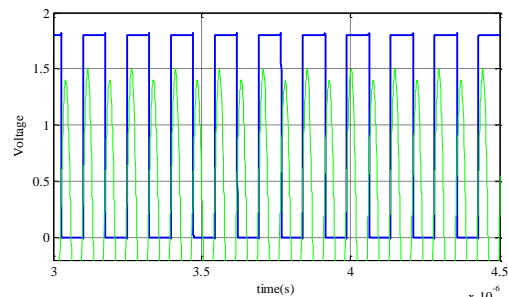
^۱ مقدار اندازه گیری شده ^۲ با رار خازنی

الف) شبیه سازی با استفاده از سیگنال دریافت شده از لینک القایی: در این قسمت دمودلاتور پیشنهادی با استفاده از مدولاتور رائه شده در [۸] که شکل ۱۳ نشان داده است، شبیه سازی

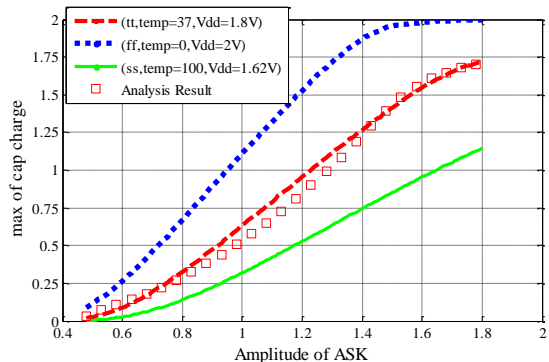
۱.۴ ولت اشباع می شود و در نتیجه نمی توان در این محدوده داده ارسالی را استخراج نمود.



شکل ۹: آشکارسازی داده (سرعت ۳۳٪، ضریب مدلایسیون ۰.۲۴٪)



شکل ۱۰: آشکارسازی داده (سرعت ۱۰۰٪، دامنه ۱.۵ ولت)

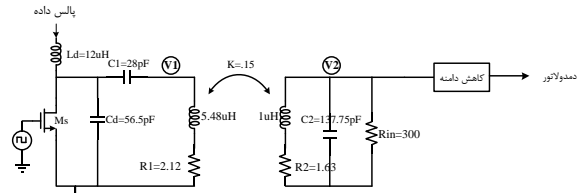


شکل ۱۱: مقدار ماکریم شارژ خازن به از دامنه های مختلف سیگنال حامل عامل دیگری که ممکن است رنج دینامیکی دمودلاتور را کاهش دهد، مقایسه گر استفاده شده در بلوک آشکار ساز داده است. از آنجاییکه وردی این مقایسه گر ترانزیستور های نوع P هستند، انتظار می رود که مقایسه گر در مقادیر ولتاژ بالای خازن ها نتواند به طور صحیح مقایسه را انجام دهد، و بنابراین باعث خطأ در آشکار سازی شود. بر همین اساس تحلیل dc این مقایسه گر برای محاسبه ولتاژ آستانه های بالا و پایین آن انجام شد. شکل ۱۰ نمونه ای از این شبیه سازی را نشان می دهد. این تحلیل نشان داد که ساختار مقایسه گر استفاده شده در گوشه هایی TT و SS قادر است تا ولتاژ های حدود ۱.۵ ولت (تا دامنه های حدود ۱.۶ ولت) نیز مقایسه را انجام دهد، اما در حالت FF این امکان تنها

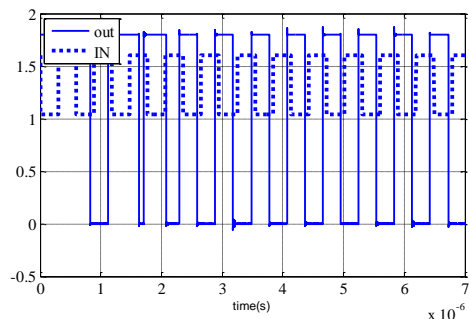
مراجع

- [1] C-C.Wang, C-L.Chen, R-C.Kuo, and D.Shmilovitz, "Self-Sampled All-MOS ASK Demodulator for Lower ISM Band Applications," *IEEE Trans. Circuits Syst. I, Reg. Papers*, vol. 57, no. 4, pp. 265–269, April 2010.
- [2] T-J.Lee, C-L.Lee, Y-J.Ciou, C-C.Huang, and C-C.Wang, "All-MOS ASK Demodulator for Low-Frequency Applications," *IEEE Trans. Circuits Syst.II, Express briefs*, vol. 55, no. 5, May 2008.
- [3] C.-H. Kao and K.-T. Tang, "Wireless power and data transmission with ASK demodulator and power regulator for a biomedical implantable SOC," in *Proc. IEEE/NIH Life Sci. Syst. Appl. Workshop*, Apr. 2009, pp. 179–182.
- [4] C. S. Alex Gong, M. T. Shiu, K.W. Yao, T.Y. Chen, Y. Chang, and C.H. Su, "A truly low-cost high-efficiency ASK demodulator based on self-sampling scheme for bioimplementable applications," *IEEE Trans. Circuits Syst. I, Reg. Papers*, vol. 55, no. 6, pp. 1464–1477, Jul. 2008.
- [5] C.-C. Wang, Y.-H. Hsueh, and Y.-T. Hsiao, "A C-less ASK demodulator for implantable neural interfacing chips," in *Proc. IEEE Int. Symp. Circuit Syst.*, May 2004, vol. 4, pp. 57–60.
- [6] M. Ghovanloo, and K. Najafi, "A wideband frequency-shift keying wireless link for inductively powered biomedical implants," *IEEE Trans. Circuits and Sys.*, vol.51, no.12, Dec. 2004, pp.2374-2483.
- [7] F.Yuan, "Design techniques for ASK demodulators of passive wireless microsystems: a state-of-the-art review," *Springer Analog Integr Circ Sig Process* (2010), 63:33–45.
- [8] G. M. Hmida, M. Dhib, H.Ghariani, and M. Samet, "Transcutaneous Power And High Data Rate Transmission For Biomedical Implants," *IEEE International Conference on Design and Test of Integrated Systems in Nanoscale Technology*, 2006.

شد. البته در این ساختار مدولاتور به جای مدولاتور پالس داده ورودی مستقیماً به تقویت کننده داده شده است همچنین دامنه سیگنال حامل دریافت شده در خروجی لینک القایی قبل از اتصال به مدولاتور کاهش داده می‌شود. نتایج شبیه سازی نشان می‌دهد که مدولاتور پیشنهادی قادر است داده ارسالی توسط مدولاتور، و با ضریب مدولاسیون ۲۳٪ را با ۲۰ Bit Rate ۱۴٪ سیگنال حامل استخراج کند. شکل ۱۴ نتیجه این شبیه سازی را نشان می‌دهد.



شکل ۱۳: شماتیک مداری مدولاتور دامنه [۸]



شکل ۱۴: داده استخراج شده توسط مدولاتور پیشنهادی

۴- نتیجه‌گیری

در این مقاله یک مدار مدولاتور دامنه جدید برای استفاده در سیستم‌های تله متری پزشکی ارائه شد. مهمترین ویژگی ساختار پیشنهاد شده آشکار سازی بر اساس تغییر در دامنه سیگنال حامل است. این ویژگی باعث کاهش حساسیت به نویز دامنه که در اثر جابه‌جایی لینک‌های القایی و تداخل با سیگنال حامل توان، در این سیستم‌ها وجود دارد، می‌شود. مزیت دیگری که این ویژگی دارد توانایی آشکار سازی در حالت گذرا بین تغییرات دامنه است، که می‌تواند تا حدودی محدودیت این حالت‌ها را در مدولاسیون پایین این مدولاتور از دیگر خاصیت‌هایی است که می‌تواند مناسب استفاده از این ساختار در کاربرد سیستم‌های تله متری باشد. این ساختار به لحاظ Bit rate بالاترین سرعت را در بین مدولاتورهایی که تاکنون ارائه شده‌اند، دارد.